

Aufgaben zur Vorlesung

Numerik II

Wintersemester 2012/13

Übungsblatt 7

W.-J. Beyn

D. Otten

Abgabe: Mittwoch, 28.11.2012, vor Beginn der Übung

Übung: Mi. 12:15–13:45, V5-148

Aufgabe 19 [Autonomisierung]

Wir betrachten die nicht-autonome Differentialgleichung

$$u' = f(t, u), \quad u(t_0) = u^0 \quad (1)$$

mit $f \in C(J \times \mathbb{R}^n, \mathbb{R}^n)$. Indem man die Zeit als künstliche Zustandsvariable auffasst, kann das Anfangswertproblem (1) autonomisiert werden, d.h. äquivalent umgeschrieben werden in

$$\begin{pmatrix} u \\ t \end{pmatrix}' = \begin{pmatrix} f(t, u) \\ 1 \end{pmatrix}, \quad \begin{pmatrix} u(0) \\ t(0) \end{pmatrix} = \begin{pmatrix} u^0 \\ t_0 \end{pmatrix} \quad (2)$$

Zeigen Sie, dass ein explizites Runge-Kutta-Verfahren genau dann invariant unter Autonomisierung ist, wenn für die Koeffizienten gilt

$$\sum_{j=1}^m \gamma_j = 1 \quad \text{und} \quad \sum_{j=1}^m \beta_{ij} = \alpha_i \quad \forall i = 1, \dots, m.$$

Hinweis: Invariant unter Autonomisierung bedeutet, dass die numerische Lösung für u von (2) mit der von (1) übereinstimmt. Verwenden Sie $s \geq 0$ als unabhängige Variable in (2).

(6 Punkte)

Aufgabe 20: [Stabilität des impliziten Euler-Verfahrens]

Gegeben sei die Anfangswertaufgabe

$$u' = f(t, u), \quad t \in J = [t_0, t_E], \quad u(t_0) = u^0 \in \mathbb{R}^n,$$

wobei $f \in C(J \times \mathbb{R}^n, \mathbb{R}^n)$ einer einseitigen Lipschitzbedingung genüge, vergleiche Aufgabe 5, d.h. es gebe ein $\alpha \in \mathbb{R}$ derart, dass

$$\langle f(t, v) - f(t, w), v - w \rangle \leq \alpha \|v - w\|_2^2 \quad \forall t \in J \quad \forall v, w \in \mathbb{R}^n.$$

Man zeige, dass das implizite Euler-Verfahren

$$\frac{1}{h_j} (u^{j+1} - u^j) = f(t_{j+1}, u^{j+1}), \quad j = 0, \dots, M-1, \quad h_{\max} = \max_{j=0, \dots, M-1} h_j$$

unter der Voraussetzung $\alpha h_{\max} \leq q < 1$ mit $q \in]0, 1[$ stabil ist bezüglich der Norm

$$\|u\|_{2, \infty} = \max_{j=0, \dots, M} \|u(t_j)\|_2, \quad u \in (\mathbb{R}^n)^{\Omega_h}.$$

Hinweis: Es darf ohne Beweis angenommen werden, dass das Gleichungssystem

$$v - u = hf(t, v)$$

für alle $u \in \mathbb{R}^n$, $t \in J$ und $h \geq 0$ mit $\alpha h < 1$ genau eine Lösung $v = v(t, u, h)$ besitzt. Weiter orientiere man sich eng am Stabilitätsbeweis der Vorlesung, Satz 2.13, und verwende die einseitige Lipschitzbedingung anstelle der beidseitigen.

(6 Punkte)

Aufgabe 21: [Implizite Runge-Kutta-Verfahren]

Gegeben sei die Anfangswertaufgabe

$$u' = f(t, u), \quad u(t_0) = u^0.$$

Schreiben Sie ein Programm, das folgendes leistet:

Nach Eingabe der Anfangsdaten u^0 , der rechten Seite f sowie deren Ableitung Df , des Start- und Endzeitpunktes t_0 und t_E , der Schrittweite h und eines m -stufigen Runge-Kutta-Tableaus

$$\begin{array}{c|ccc} \alpha_1 & \beta_{11} & \cdots & \beta_{1m} \\ \vdots & \vdots & \ddots & \vdots \\ \alpha_m & \beta_{m1} & \cdots & \beta_{m,m} \\ \hline & \gamma_1 & \cdots & \gamma_m \end{array}$$

soll das Programm das zugehörige (implizite) Runge-Kutta-Verfahren durchführen. Lösen Sie die impliziten Gleichungen im j -ten Schritt mit dem (mehrdimensionalen) Newton-Verfahren. Starten Sie dabei mit $k_i^0 = f(t_j, u^j)$ für $i = 1, \dots, m$ und beenden Sie die Iteration, sobald

$$\max_{i=1, \dots, m} \|k_i^{\nu+1} - k_i^\nu\|_\infty \leq 10^{-7}$$

erfüllt ist. Brechen Sie die Rechnung ab, falls das Newton-Verfahren nicht konvergiert (zu viele Iterationsschritte oder Overflow).

Verwenden Sie Ihr Programm zur numerischen Lösung der aus Aufgabe 14 bekannten Beispiele a) und b) auf dem Intervall $[0, 7]$ mit den angegebenen impliziten Runge-Kutta-Verfahren und der Schrittweite $h = 0.1$. Zeichnen Sie für a) und b) jeweils ein aussagekräftiges Diagramm, das die exakte Lösung und alle numerischen Lösungen enthält!

Runge-Kutta-Tableaus:

- $m = 1$ (mit Konsistenzordnung 2)

$$\begin{array}{c|c} \frac{1}{2} & \frac{1}{2} \\ \hline & 1 \end{array}$$

- $m = 2$ (mit Konsistenzordnung 4)

$$\begin{array}{c|cc} \frac{1}{6}(3 - \sqrt{3}) & \frac{1}{4} & \frac{1}{4} - \frac{\sqrt{3}}{6} \\ \frac{1}{6}(3 + \sqrt{3}) & \frac{1}{4} + \frac{\sqrt{3}}{6} & \frac{1}{4} \\ \hline & \frac{1}{2} & \frac{1}{2} \end{array}$$

(6 Punkte)

Numerik II (WS 12/13)

Übungsblatt 07

Lösungen

Aufgabe 19: $f \in C(\mathcal{I} \times \mathbb{R}^n, \mathbb{R}^n)$, $\mathcal{I} = [t_0, t_E]$

• nicht-autonome Differentialgleichung

$$(19.1) \quad u'(t) = f(t, u(t)), \quad u(t_0) = u^0$$

• autonome Differentialgleichung

$$(19.2) \quad \begin{pmatrix} \tilde{u} \\ \tilde{t} \end{pmatrix}'(s) = \begin{pmatrix} f(\tilde{t}(s), \tilde{u}(s)) \\ 1 \end{pmatrix} =: \tilde{f} \begin{pmatrix} \tilde{u}(s) \\ \tilde{t}(s) \end{pmatrix}, \quad \begin{pmatrix} \tilde{u}(0) \\ \tilde{t}(0) \end{pmatrix} = \begin{pmatrix} u^0 \\ t_0 \end{pmatrix}$$

Zeige: Ein explizites RK-Verfahren ist genau dann invariant unter Autonomisierung, wenn für die Koeffizienten gilt

$$(19.3) \quad \sum_{i=1}^m \gamma_i = 1 \quad \text{und} \quad \sum_{l=1}^m \beta_{il} = \alpha_i, \quad \forall i=1, \dots, m$$

Lösung: • Autonomisierung einer DGL (siehe Beiblatt).

• Vorbemerkung:

zu (19.1):

$$u^{j+1} = u^j + h_j \sum_{i=1}^m \gamma_i K_i(t_j, u^j, h_j)$$

$$K_i(t_j, u^j, h_j) = f(t_j + \alpha_i h_j, u^j + h_j \sum_{l=1}^{i-1} \beta_{il} K_l(t_j, u^j, h_j)), \quad i=1, \dots, m$$

zu (19.2):

$$\begin{pmatrix} \tilde{u}^{j+1} \\ \tilde{t}^{j+1} \end{pmatrix} = \begin{pmatrix} \tilde{u}^j \\ \tilde{t}^j \end{pmatrix} + h_j \sum_{i=1}^m \gamma_i \tilde{K}_i(s_j, \begin{pmatrix} \tilde{u}^j \\ \tilde{t}^j \end{pmatrix}, h_j)$$

$$\tilde{K}_i(s_j, \begin{pmatrix} \tilde{u}^j \\ \tilde{t}^j \end{pmatrix}, h_j) = \tilde{f} \left(\begin{pmatrix} \tilde{u}^j \\ \tilde{t}^j \end{pmatrix} + h_j \sum_{l=1}^{i-1} \beta_{il} \tilde{K}_l(s_j, \begin{pmatrix} \tilde{u}^j \\ \tilde{t}^j \end{pmatrix}, h_j) \right), \quad i=1, \dots, m$$

• \Leftarrow : Seien die Bedingungen aus (19.3) erfüllt. Wir zeigen per Induktion über j :

$$(19.4) \quad \tilde{u}^j = u^j \quad \text{und} \quad \tilde{t}^j = t_j \quad \forall j=0, 1, 2, \dots$$

(IA): $j=0$: $\tilde{u}^0 = \tilde{u}(0) = u^0$, $\tilde{t}^0 = \tilde{t}(0) = t_0$ ✓

(IS): $j \rightarrow j+1$:

$$(19.5) \quad \begin{pmatrix} \tilde{u}^{j+1} \\ \tilde{t}^{j+1} \end{pmatrix} = \begin{pmatrix} \tilde{u}^j \\ \tilde{t}^j \end{pmatrix} + h_j \sum_{i=1}^m \gamma_i \tilde{K}_i(s_j, \begin{pmatrix} \tilde{u}^j \\ \tilde{t}^j \end{pmatrix}, h_j) = \begin{pmatrix} \tilde{u}^j + h_j \sum_{i=1}^m \gamma_i K_i(t_j, u^j, h_j) \\ \tilde{t}^j + h_j \sum_{i=1}^m \gamma_i \end{pmatrix}$$

(19.5)

$$\stackrel{\text{(mit (19.4))}}{=} \begin{pmatrix} u^j + h_j \sum_{i=1}^m \gamma_i K_i(t_j, u^j, h_j) \\ t_j + h_j \sum_{i=1}^m \gamma_i \end{pmatrix} \stackrel{\text{(19.3)}}{=} \begin{pmatrix} u^{j+1} \\ t_{j+1} \end{pmatrix}$$

(IV)
 $\sum_{i=1}^m \gamma_i = 1$
vgl. (19.3)

Wir zeigen ~~über~~ ^{per} Induktion über i :

$$\tilde{K}_i(s_j, \begin{pmatrix} \tilde{u}_j \\ \tilde{t}_j \end{pmatrix}, h_j) = \begin{pmatrix} K_i(t_j, u_j, h_j) \\ 1 \end{pmatrix}, i=1, \dots, m$$

(IA): $i=1$:

$$\tilde{K}_1(s_{j_1}, \begin{pmatrix} \tilde{u}_j \\ \tilde{t}_j \end{pmatrix}, h_j) = \tilde{f} \left(\begin{pmatrix} \tilde{u}_j \\ \tilde{t}_j \end{pmatrix} \right) = \begin{pmatrix} f(\tilde{t}_j, u_j) \\ 1 \end{pmatrix} \stackrel{\text{(IV)}}{=} \begin{pmatrix} f(t_j, u_j) \\ 1 \end{pmatrix} \stackrel{\text{(bzgl. j)}}{=} \begin{pmatrix} K_1(t_j, u_j, h_j) \\ 1 \end{pmatrix}$$

$\sum_{l=1}^0 \beta_{1l} = \alpha_1 = 0$
vgl. (19.3)

(IS): $i-1 \rightarrow i$:

$$\begin{aligned} \tilde{K}_i(s_{j_i}, \begin{pmatrix} \tilde{u}_j \\ \tilde{t}_j \end{pmatrix}, h_j) &= \tilde{f} \left(\begin{pmatrix} \tilde{u}_j \\ \tilde{t}_j \end{pmatrix} + h_j \sum_{l=1}^{i-1} \beta_{il} K_l(s_{j_l}, \begin{pmatrix} u_j \\ t_j \end{pmatrix}, h_j) \right) \\ &= \tilde{f} \left(\begin{pmatrix} \tilde{u}_j + h_j \sum_{l=1}^{i-1} \beta_{il} K_l(t_j, u_j, h_j) \\ \tilde{t}_j + h_j \sum_{l=1}^{i-1} \beta_{il} \end{pmatrix} \right) \\ &\stackrel{\text{(IV)}}{=} \begin{pmatrix} f(\tilde{t}_j + h_j \sum_{l=1}^{i-1} \beta_{il}, \tilde{u}_j + h_j \sum_{l=1}^{i-1} \beta_{il} K_l(t_j, u_j, h_j)) \\ 1 \end{pmatrix} \\ &\stackrel{\text{(IV)}}{=} \begin{pmatrix} f(t_j + h_j \sum_{l=1}^{i-1} \beta_{il}, u_j + h_j \sum_{l=1}^{i-1} \beta_{il} K_l(t_j, u_j, h_j)) \\ 1 \end{pmatrix} \\ &\stackrel{\text{(IV)}}{=} \begin{pmatrix} f(t_j + h_j \alpha_i, u_j + h_j \sum_{l=1}^{i-1} \beta_{il} K_l(t_j, u_j, h_j)) \\ 1 \end{pmatrix} \\ &\stackrel{\text{vgl. (19.3)}}{=} \begin{pmatrix} K_i(t_j, u_j, h_j) \\ 1 \end{pmatrix} \end{aligned}$$

$\alpha_i = \sum_{l=1}^{i-1} \beta_{il}, i=1, \dots, m$
vgl. (19.3)

(19.6)

• \Rightarrow : Es gelte (19.4).

1. Angenommen $\sum_{i=1}^m \delta_i \neq 1$, dann gilt (vgl. (19.5))

$$t_{j+1} := t_j + h_j \stackrel{(19.4)}{=} \tilde{t}_j + h_j \neq \tilde{t}_j + h_j \sum_{i=1}^m \delta_i = \tilde{t}_j + h_j \quad \text{zu (19.4)}$$

$\sum_{i=1}^m \delta_i \neq 1$

$$\Rightarrow \sum_{i=1}^m \delta_i = 1$$

2. Angenommen $\sum_{l=1}^{i-1} \beta_{il} \neq \alpha_i$ für ein $i \in \{1, \dots, m\}$. Da (19.4) unabhängig von der Wahl von f für beliebige f 's gilt, können wir $g(t)$ anstelle von $f(t, u)$ betrachten. In diesem Fall ist (19.4) nach unserer Annahme nicht erfüllt (da in (19.6) keine Gleichheit vorliegt) \hookrightarrow zu (19.4).

$$\Rightarrow \sum_{l=1}^{i-1} \beta_{il} = \alpha_i, \forall i=1, \dots, m$$

Autonomisierung einer DGL:

• Nicht-autonome DGL

$$(1) \begin{cases} u'(t) = f(t, u(t)) \\ u(t_0) = u^0 \end{cases}$$

$$\text{hier: } u'(t) = \frac{d}{dt} u(t)$$

• Autonomisierung:

$$\tilde{t}(s) := s + t_0, \text{ dann } \tilde{t}(0) = t_0 \text{ und } \frac{d}{ds} \tilde{t}(s) = 1$$

$$\tilde{u}(s) := u(s + t_0) = u(\tilde{t}(s)), \text{ dann } \tilde{u}(0) = u(t_0) = u^0 \text{ und}$$

$$\frac{d}{ds} \tilde{u}(s) = \frac{d}{ds} u(s + t_0) = \left(\frac{d}{dt} u \right) (s + t_0) \cdot 1 = \underset{(1)}{f} \left(\underbrace{s + t_0}_{\tilde{t}(s)}, \underbrace{u(s + t_0)}_{\tilde{u}(s)} \right)$$

Wir erhalten

$$\begin{pmatrix} f(\tilde{t}(s), \tilde{u}(s)) \\ 1 \end{pmatrix} =: \tilde{F} \left(\begin{pmatrix} \tilde{u}(s) \\ \tilde{t}(s) \end{pmatrix} \right)$$

Kein zusätzliches s
Argument mehr vorhanden.

• Autonome DGL:

$$(2) \begin{cases} \begin{pmatrix} \tilde{u}'(s) \\ \tilde{t}'(s) \end{pmatrix} = \tilde{F} \left(\begin{pmatrix} \tilde{u}(s) \\ \tilde{t}(s) \end{pmatrix} \right) \\ \begin{pmatrix} \tilde{u}(0) \\ \tilde{t}(0) \end{pmatrix} = \begin{pmatrix} u^0 \\ t_0 \end{pmatrix} \end{cases}$$

$$\text{hier: } \begin{pmatrix} \tilde{u}'(s) \\ \tilde{t}'(s) \end{pmatrix} = \frac{d}{ds} \begin{pmatrix} \tilde{u}(s) \\ \tilde{t}(s) \end{pmatrix}$$

Bemerkung:

• Die Lösungen autonomer DGL'en sind **invariant** unter **Zeittranslation**, d.h.

$$x = x(t) \text{ Lösung von } \frac{d}{dt} x(t) = f(x(t)) \Rightarrow z(t) := x(t+c) \text{ Lösung von } \frac{d}{dt} z(t) = f(z(t))$$

Aufgabe 20:

Gegeben sei die AWA

$$u' = f(t, u) \quad , \quad t \in J = [t_0, t_E],$$

$$u(t_0) = u^0 \in \mathbb{R}^n,$$

wobei

- $f \in C(J \times \mathbb{R}^n, \mathbb{R}^n)$,

- f genüge Lipschitzbedingung im 2. Argument der Form

$$\exists \alpha \in \mathbb{R} : \langle f(t, v) - f(t, w), v - w \rangle \leq \alpha \|v - w\|_2^2 \quad \forall t \in J \quad \forall v, w \in \mathbb{R}^n.$$

Zeige: Das implizite Eulers-Verfahren $(u=1, \frac{1}{1})$

$$\frac{1}{h_j} (u^{j+1} - u^j) = f(t_{j+1}, u^{j+1}) \quad , \quad j=0, \dots, M-1 \quad , \quad h_{\max} := \max_{j=0, \dots, M-1} h_j$$

mit

$$\alpha h_{\max} \leq \rho < 1 \quad , \quad \rho \in]0, 1[$$

ist stabil bzgl. der Norm

$$\|u\|_{2, \infty} := \max_{j=0, \dots, M-1} \|u(t_j)\|_2 \quad , \quad u \in (\mathbb{R}^n)^{S_h} =: X_h$$

d.h.

$$\exists C > 0 \exists \bar{h} > 0 : \|u_1 - u_2\|_{2, \infty} \leq C \cdot \|T_h(u_1) - T_h(u_2)\|_{2, \infty} \quad \forall u_1, u_2 \in X_h$$

$\|\cdot\|_{2, \infty}$ wird im Skript mit $\|\cdot\|_{\infty}$ und $(\mathbb{R}^n)^{S_h}$ mit X_h bezeichnet.

$$\forall h \leq h_{\max} \leq \bar{h}.$$

Lösung: (vgl. Beweis von Satz 2.13, globale Stabilität von Einschrittverfahren)

Definiere den Operator

$$T_h u := \left(u(t_0) - u^0, \left(\frac{1}{h_j} (u^{j+1} - u^j) - f(t_{j+1}, u^{j+1}) \right)_{j=0, \dots, M-1} \right).$$

Stabilitätsungleichung für T_h :

Seien $u_1, u_2 \in X_h$, $v_1 := T_h(u_1)$, $v_2 := T_h(u_2)$, $s := \|v_1 - v_2\|_{2, \infty}$, $z := u_1 - u_2$

1. Für $j=0, \dots, M-1$ gilt:

$$\begin{aligned} \frac{1}{h_j} (z(t_{j+1}) - z(t_j)) &= \left[\frac{1}{h_j} (u_1(t_{j+1}) - u_1(t_j)) - \underbrace{\varphi(t_{j+1}, u_1(t_{j+1}), h_j)}_{= f(t_{j+1}, u_1(t_{j+1}))} \right] \\ &\quad - \left[\frac{1}{h_j} (u_2(t_{j+1}) - u_2(t_j)) - \underbrace{\varphi(t_j, u_2(t_j), h_j)}_{= f(t_j, u_2(t_j))} \right] \\ &\quad + \underbrace{\varphi(t_j, u_1(t_j), h_j)}_{= f(t_j, u_1(t_j))} - \underbrace{\varphi(t_j, u_2(t_j), h_j)}_{= f(t_j, u_2(t_j))} \end{aligned}$$

$$\|z(t_{j+1})\|_2 \leq \left(\frac{1}{1 - \alpha h_j} \right) \cdot [\|z(t_j)\|_2 + h_j s] \quad , \quad j=0, \dots, M-1$$

Multiplikation mit h_j und Addition von $z(t_j)$ liefert

$$\begin{aligned} z(t_{j+1}) &= z(t_j) + h_j \cdot \left[\underbrace{\frac{1}{h_j} (u_1(t_{j+1}) - u_1(t_j)) - f(t_{j+1}, u_1(t_{j+1}))}_{= v_1(t_{j+1})} \right] \\ &\quad - h_j \left[\underbrace{\frac{1}{h_j} (u_2(t_{j+1}) - u_2(t_j)) - f(t_{j+1}, u_2(t_{j+1}))}_{= v_2(t_{j+1})} \right] \\ &\quad + h_j (f(t_{j+1}, u_1(t_{j+1})) - f(t_{j+1}, u_2(t_{j+1}))) \\ &= z(t_j) + h_j \left[v_1(t_{j+1}) - v_2(t_{j+1}) + f(t_{j+1}, u_1(t_{j+1})) - f(t_{j+1}, u_2(t_{j+1})) \right] \end{aligned}$$

Multiplikation (von rechts) mit $z(t_{j+1})$ liefert weiter

$$\begin{aligned} \|z(t_{j+1})\|_2^2 &= \langle z(t_{j+1}), z(t_{j+1}) \rangle \\ &= \langle z(t_{j+1}), z(t_j) \rangle + h_j \langle v_1(t_{j+1}) - v_2(t_{j+1}), z(t_{j+1}) \rangle \\ &\quad + h_j \langle f(t_{j+1}, u_1(t_{j+1})) - f(t_{j+1}, u_2(t_{j+1})), z(t_{j+1}) \rangle \\ &\stackrel{f \text{ Lipschitz stetig im 2. Argument}}{\leq} \langle z(t_j), z(t_{j+1}) \rangle + h_j \langle v_1(t_{j+1}) - v_2(t_{j+1}), z(t_{j+1}) \rangle + \alpha h_j \|z(t_{j+1})\|_2^2 \end{aligned}$$

Subtraktion von $\alpha h_j \|z(t_{j+1})\|_2^2$ und Division durch $1 - \alpha h_j > 0$ liefert nun

$$\begin{aligned} \|z(t_{j+1})\|_2^2 &\leq \left(\frac{1}{1 - \alpha h_j} \right) \cdot \left[\langle z(t_j), z(t_{j+1}) \rangle + h_j \langle v_1(t_{j+1}) - v_2(t_{j+1}), z(t_{j+1}) \rangle \right] \\ &\stackrel{\text{Cauchy-Schwarz}}{\leq} \left(\frac{1}{1 - \alpha h_j} \right) \cdot \left[\|z(t_j)\|_2 + h_j \|v_1(t_{j+1}) - v_2(t_{j+1})\|_2 \right] \|z(t_{j+1})\|_2 \end{aligned}$$

Division durch $\|z(t_{j+1})\|_2$ liefert

$$\begin{aligned} \|z(t_{j+1})\|_2 &\leq \left(\frac{1}{1 - \alpha h_j} \right) \left[\|z(t_j)\|_2 + h_j \|v_1(t_{j+1}) - v_2(t_{j+1})\|_2 \right] \\ &\leq \max_{j=0, \dots, M-1} \|v_1(t_{j+1}) - v_2(t_{j+1})\|_2 \\ &= \|v_1 - v_2\|_{2, \infty} =: S \end{aligned}$$

$$\leq \left(\frac{1}{1 - \alpha h_j} \right) \left[\|z(t_j)\|_2 + h_j S \right].$$

2. Dies ist eine rekursive Abschätzung für $\|z(t_{j+1})\|_2$. Durch Induktion finden wir

$$\|z(t_{j+1})\|_2 \leq \prod_{\nu=0}^{j-1} \left(\frac{1}{1 - \alpha h_\nu} \right) \cdot \|z(t_0)\|_2 + \sum_{i=0}^{j-1} h_i S \prod_{\nu=i+1}^{j-1} \left(\frac{1}{1 - \alpha h_\nu} \right), \quad j=0, \dots, M.$$

Induktionsanfang (IA): $j=0$, $\prod_{\emptyset} = 1$, $\sum_{\emptyset} = 0$.

$$\|z(t_0)\|_2 = \|u_1(t_0) - u_2(t_0)\|_2 = \|u^0 - u^0\|_2 = 0 \leq 0 = \prod_{\emptyset} (\dots) + \sum_{\emptyset} h_i \beta_i \prod_{\emptyset} (\dots). \quad \checkmark$$

Induktionsschritt (IS): $j \rightarrow j+1$

$$\|z(t_{j+1})\|_2 \stackrel{\text{Teil 1}}{\leq} \left(\frac{1}{1-\alpha h_j}\right) \cdot [\|z(t_j)\|_2 + h_j \rho]$$

$$\stackrel{\text{(IV)}}{\leq} \left(\frac{1}{1-\alpha h_j}\right) \cdot \left[\prod_{\nu=0}^{j-1} \left(\frac{1}{1-\alpha h_\nu}\right) \|z(t_0)\|_2 + \sum_{i=0}^{j-1} h_i \rho \prod_{\nu=i+1}^{j-1} \left(\frac{1}{1-\alpha h_\nu}\right) + h_j \rho \right]$$

$$= \prod_{\nu=0}^j \left(\frac{1}{1-\alpha h_\nu}\right) \|z(t_0)\|_2 + \sum_{i=0}^j h_i \rho \prod_{\nu=i+1}^j \left(\frac{1}{1-\alpha h_\nu}\right) \quad \checkmark$$

3. Aus

$$\|z(t_0)\|_2 = \|u_1(t_0) - u_2(t_0)\|_2 = \|(u_1(t_0) - u^0) - (u_2(t_0) - u^0)\|_2 = \|v_1(t_0) - v_2(t_0)\|_2 \leq \rho$$

und der Induktion erhalten wir

$$\|z(t_j)\|_2 \leq \left[\prod_{\nu=0}^{j-1} \left(\frac{1}{1-\alpha h_\nu}\right) + \sum_{i=0}^{j-1} h_i \prod_{\nu=i+1}^{j-1} \left(\frac{1}{1-\alpha h_\nu}\right) \right] \cdot \rho, \quad j=0, \dots, M$$

Weiter gilt nun

$$\frac{1}{1-\alpha h_\nu} = 1 + \left(\frac{1}{1-\alpha h_\nu} - 1\right) = 1 + \frac{\alpha h_\nu}{1-\alpha h_\nu} \stackrel{1+x \leq e^x}{\leq} e^{\frac{\alpha h_\nu}{1-\alpha h_\nu}}$$

• für $\alpha \geq 0$ verwende nun (nach Voraussetzung gilt $h_\nu \alpha \leq h_{\max} \alpha \leq q < 1$):

$$h_\nu \alpha \leq q < 1 \Rightarrow -h_\nu \alpha \geq -q > -1 \Rightarrow 1 - h_\nu \alpha \geq 1 - q > 0$$

$$\Rightarrow 0 < \frac{1}{1-h_\nu \alpha} \leq \frac{1}{1-q} \quad \forall \alpha \in \mathbb{R}$$

• für $\alpha \leq 0$ fordere zusätzlich $h_\nu |\alpha| < \frac{q}{1-q}$:

$$(1-q)(-\alpha) h_\nu \leq (1-q) |\alpha| h_\nu \leq q \Rightarrow -\alpha h_\nu \leq \frac{q}{1-q} \Rightarrow 1 - \alpha h_\nu \leq \frac{1}{1-q}$$

$$\Rightarrow \frac{1}{1-h_\nu \alpha} \geq 1 - q > 0 \quad \uparrow \quad q \in]0, 1[$$

Dies liefert

$$\frac{1}{1-\alpha h_\nu} \leq e^{\frac{\alpha h_\nu}{1-\alpha h_\nu}} \leq \begin{cases} e^{\frac{\alpha h_\nu}{1-q}}, & \alpha \geq 0 \text{ \& } h_\nu \alpha \leq q < 1 \\ e^{\alpha h_\nu (1-q)}, & \alpha \leq 0 \text{ \& } h_\nu |\alpha| \leq \frac{q}{1-q} \end{cases} \stackrel{\alpha h_\nu \alpha}{=} e$$

Daraus schließen wir jetzt: $C_\alpha := \begin{cases} \frac{1}{1-q}, & \alpha \geq 0 \text{ \& } h_{\max} \alpha \leq q < 1 \\ 1-q, & \alpha \leq 0 \text{ \& } h_{\max} |\alpha| \leq \frac{q}{1-q} \end{cases}$

$$\|z(t_j)\|_2 \leq \left[\prod_{\nu=0}^{j-1} e^{\alpha h_\nu C_\alpha} + \sum_{i=0}^{j-1} h_i \prod_{\nu=i+1}^{j-1} e^{\alpha h_\nu C_\alpha} \right] \cdot \rho$$

$$= \left[e^{\alpha C_\alpha \sum_{\nu=0}^{j-1} h_\nu} + \sum_{i=0}^{j-1} h_i e^{\alpha C_\alpha \sum_{\nu=i+1}^{j-1} h_\nu} \right] \cdot \rho$$

$$= \left[e^{\alpha C_\alpha (t_j - t_0)} + \sum_{i=0}^{j-1} h_i e^{\alpha C_\alpha (t_j - t_{i+1})} \right] \cdot \rho$$

$$= e^{\alpha C_\alpha (t_j - t_0)} \cdot \left[1 + \sum_{i=0}^{j-1} h_i e^{\alpha C_\alpha (t_0 - t_{i+1})} \right] \cdot \rho$$

$$\leq \begin{cases} 1, & \alpha \geq 0 \\ e^{\alpha C_\alpha (t_0 - t_j)}, & \alpha \leq 0 \end{cases} \quad \text{falls } j \geq 1$$

$$\leq e^{\alpha C_\alpha (t_j - t_0)} \cdot \left[1 + \underbrace{\left(\sum_{i=0}^{j-1} h_i \right)}_{= t_j - t_0 \text{ (} h_j := t_{j+1} - t_j)} \cdot \begin{cases} 1, & \alpha \geq 0 \\ e^{\alpha C_\alpha (t_0 - t_j)}, & \alpha \leq 0 \end{cases} \right] \cdot \beta$$

$$\leq e^{\alpha C_\alpha (t_j - t_0)} \cdot \left[1 + (t_j - t_0) \cdot \begin{cases} 1, & \alpha \geq 0 \\ e^{\alpha C_\alpha (t_0 - t_j)}, & \alpha \leq 0 \end{cases} \right] \cdot \beta, \quad j=1, 2, \dots, M$$

Für $j=0$ ~~ist~~ ^{haben} wir bereits $\|z(t_0)\|_2 \leq \beta$ oben eingesehen.

~~$\|z(t_0)\|_2$~~

4. Nehmen wir nun das Maximum über $j=0, \dots, M$, so erhalten wir

$$\|u_1 - u_2\|_{2, \infty} = \|z\|_{2, \infty} = \max_{j=0, \dots, M} \|z(t_j)\|_2$$

$$\leq \max_{j=0, \dots, M} e^{\alpha C_\alpha (t_j - t_0)} \left[1 + (t_j - t_0) \cdot \begin{cases} 1, & \alpha \geq 0 \\ e^{\alpha C_\alpha (t_0 - t_j)}, & \alpha \leq 0 \end{cases} \right] \cdot \beta$$

$$\stackrel{t_E = t_M}{\leq} \begin{cases} e^{\alpha C_\alpha (t_E - t_0)}, & \alpha \geq 0 \\ 1, & \alpha \leq 0 \end{cases} \cdot \left[1 + (t_E - t_0) \cdot \begin{cases} 1, & \alpha \geq 0 \\ e^{\alpha C_\alpha (t_0 - t_E)}, & \alpha \leq 0 \end{cases} \right] \cdot \beta$$

$$= \begin{cases} e^{\alpha C_\alpha (t_E - t_0)} \cdot (1 + t_E - t_0) \cdot \beta, & \alpha \geq 0 \\ e^{-\alpha C_\alpha (t_E - t_0)} \cdot \underbrace{\left(e^{\alpha C_\alpha (t_E - t_0)} + t_E - t_0 \right)}_{\leq 1, \text{ da } \alpha \leq 0} \cdot \beta, & \alpha \leq 0 \end{cases}$$

$$\leq \underbrace{e^{|\alpha| C_\alpha (t_E - t_0)} \cdot (1 + t_E - t_0)}_{=: C} \cdot \|T_n(u_1) - T_n(u_2)\|_{2, \infty}$$

$$\forall u_1, u_2 \in X_n \\ \forall h \leq h_{\max} \leq \bar{h}$$

$$\beta = \|v_1 - v_2\|_{2, \infty} \\ = \|T_n(u_1) - T_n(u_2)\|_{2, \infty}$$

$\alpha \geq 0$: \bar{h} such that $\bar{h} \cdot \alpha \leq q < 1$. ($q \in]0, 1[$)
 $\alpha \leq 0$: \bar{h} such that $\bar{h} |\alpha| \leq \frac{q}{1-q}$.

Aufgabe 2.1:

```

%% Aufgabenteil (a)
f = @(t,v) v-2*sin(t);
Dvf = @(t,v) 1;
u_init=1;
t_init=0;
t_end=7;
h=0.1;
t_fine=t_init:h/100:t_end;
u_bar = @(t) cos(t)+sin(t);

%% Explizite Runge-Kutta-Verfahren
% Runge-Kutta-Tableau (m=1) Explizites Euler-Verfahren
alpha=[0];
beta=[0];
gamma=[1];

[tn_euler,un_euler]=rk_explicit(f,u_init,t_init,t_end,h,alpha,beta,gamma);

% Runge-Kutta-Tableau (m=2) Heun-Verfahren
alpha=[0;1/2];
beta=[0 0; 1/2 0];
gamma=[0 1];

[tn_heun,un_heun]=rk_explicit(f,u_init,t_init,t_end,h,alpha,beta,gamma);

% Runge-Kutta-Tableau (m=4) Klassisches Runge-Kutta-Verfahren
alpha=[0 1/2 1/2 1];
beta=[0 0 0 0;1/2 0 0 0;0 1/2 0 0;0 0 1 0];
gamma=[1/6 1/3 1/3 1/6];

[tn_rkclassic,un_rkclassic]=rk_explicit(f,u_init,t_init,t_end,h,alpha,beta,
gamma);

%% implizite Runge-Kutta-Verfahren
% Runge-Kutta-Tableau (m=1, p=2)
alpha=[1/2];
beta=[1/2];
gamma=[1];

[tn_m1p2,un_m1p2]=rk_implicit(f,Dvf,u_init,t_init,t_end,h,alpha,beta,gamma);

% Runge-Kutta-Tableau (m=2, p=4)
alpha=[(3-sqrt(3))/6; (3+sqrt(3))/6];
beta=[1/4 1/4-sqrt(3)/6; 1/4+sqrt(3)/6 1/4];
gamma=[1/2 1/2];

[tn_m2p4,un_m2p4]=rk_implicit(f,Dvf,u_init,t_init,t_end,h,alpha,beta,gamma);

%% Graphische Ausgabe
figure;
subplot(1,2,1);
hold on;
plot(tn_euler,un_euler,'b');
plot(tn_heun,un_heun,'r');
plot(tn_rkclassic,un_rkclassic,'g');
plot(t_fine,u_bar(t_fine),'k');

```

```

legend('explicit Euler: m=1, p=1', 'Heun: m=2, p=2', 'classical RK: m=4,
p=4', 'exact', 'Location', 'Best');
hold off
subplot(1,2,2);
hold on;
plot(tn_mlp2,un_mlp2,'b');
plot(tn_m2p4,un_m2p4,'r');
plot(t_fine,u_bar(t_fine),'k');
legend('m=1, p=2', 'm=2, p=4', 'exact', 'Location', 'Best');
hold off;

%% Aufgabenteil (b)
f = @(t,v) 1/10*[-6 2;2 -9]*v;
Dvf = @(t,v) 1/10*[-6 2;2 -9];
u_init=[1;1];
t_init=0;
t_end=7;
h=0.1;
t_fine=t_init:h/100:t_end;
u_bar = @(t) 1/5*[-exp(-t)+6*exp(-t/2);2*exp(-t)+3*exp(-t/2)];

%% Explizite Runge-Kutta-Verfahren
% Runge-Kutta-Tableau (m=1) Explizites Euler-Verfahren
alpha=[0];
beta=[0];
gamma=[1];

[tn_euler,un_euler]=rk_explicit(f,u_init,t_init,t_end,h,alpha,beta,gamma);

% Runge-Kutta-Tableau (m=2) Heun-Verfahren
alpha=[0;1/2];
beta=[0 0; 1/2 0];
gamma=[0 1];

[tn_heun,un_heun]=rk_explicit(f,u_init,t_init,t_end,h,alpha,beta,gamma);

% Runge-Kutta-Tableau (m=4) Klassisches Runge-Kutta-Verfahren
alpha=[0 1/2 1/2 1];
beta=[0 0 0 0;1/2 0 0 0;0 1/2 0 0;0 0 1 0];
gamma=[1/6 1/3 1/3 1/6];

[tn_rkclassic,un_rkclassic]=rk_explicit(f,u_init,t_init,t_end,h,alpha,beta,
gamma);

%% implizite Runge-Kutta-Verfahren
% Runge-Kutta-Tableau (m=1, p=2)
alpha=[1/2];
beta=[1/2];
gamma=[1];

[tn_mlp2,un_mlp2]=rk_implicit(f,Dvf,u_init,t_init,t_end,h,alpha,beta,gamma);

% Runge-Kutta-Tableau (m=2, p=4)
alpha=[(3-sqrt(3))/6;(3+sqrt(3))/6];
beta=[1/4 1/4-sqrt(3)/6; 1/4+sqrt(3)/6 1/4];
gamma=[1/2 1/2];

```

```
[tn_m2p4,un_m2p4]=rk_implicit(f,Dvf,u_init,t_init,t_end,h,alpha,beta,gamma);
```

```
%% Graphische Ausgabe
```

```
u_exact_sol=u_bar(t_fine);
```

```
space_dim=length(u_init);
```

```
for i=1:space_dim
```

```
    figure;
```

```
    subplot(1,2,1)
```

```
    hold on;
```

```
    plot(tn_euler,un_euler(i,:), '*b');
```

```
    plot(tn_heun,un_heun(i,:), '*r');
```

```
    plot(tn_rkclassic,un_rkclassic(i,:), '*g');
```

```
    plot(t_fine,u_exact_sol(i,:), 'k');
```

```
    legend('explicit Euler: m=1, p=1', 'Heun: m=2, p=2', 'classical RK: m=4, p=4', 'exact', 'Location', 'Best');
```

```
    hold off
```

```
    subplot(1,2,2);
```

```
    hold on;
```

```
    plot(tn_mlp2,un_mlp2(i,:), '*b');
```

```
    plot(tn_m2p4,un_m2p4(i,:), '*r');
```

```
    plot(t_fine,u_exact_sol(i,:), 'k');
```

```
    legend('m=1, p=2', 'm=2, p=4', 'exact', 'Location', 'Best');
```

```
    hold off;
```

```
end
```

```

function [tn,un] = rk_implicit(f,Dvf,u_init,t_init,t_end,h,alpha,beta,gamma)
%RK_EXPLICIT loest Anfangswertprobleme der Form
%
%      u'(t) = f(t,u(t)), u(t_init) = u_init
%
%      mit expliziten Runge-Kutta Verfahren (alpha,beta,gamma)
%
%      zur konstanten Zeitschrittweite h auf dem endlichen
%
%      Zeitintervall [t_init,t_end].

%% Initialisierung
m=length(gamma);           % Stufe des RK-Verfahrens
tn=t_init:h:t_end;        % diskretes Zeitintervall
time_steps=length(tn);    % Anzahl der Zeitschritte
space_dim=length(u_init); % Dimension der DGL, Raumdimension
un=zeros(space_dim,time_steps); % Speicherreservierung fuer RK-Iteration
un(:,1)=u_init;           % Initialisierung der Anfangsdaten
k=zeros(space_dim,m);     % Speicherreservierung der k_i's

%% Implizites Runge-Kutta-Verfahren
for j=2:time_steps

    % 1. Berechnung der k_i's durch Loesen eines nichtlinearen
    % Gleichungssystems
    % Startwert fuer das Newton-Verfahren: (im j-ten Schritt
    % k_i^0=f(t_j,u_j) fuer i=1..m)
    for i=1:m
        k(:,i)=f(tn(j-1),un(:,j-1));
    end
    % Mehrdimensionales Newton-Verfahren
    eps=10^(-7);
    max_newton_steps=20;
    n = 0;
    xn = k(:);
    yn = F(f,alpha,beta,xn,tn(j-1),un(:,j-1),h);
    while max(abs(yn))>eps
        n = n+1;
        zn = xn - DF(Dvf,alpha,beta,xn,tn(j-1),un(:,j-1),h)\yn;
        if norm(zn-xn)==Inf
            error('Newton method has not converged: Overflow.')

```

```

%% Function F
function z = F(f,alpha,beta,k,t,v,s)
    d=length(v);
    m=length(alpha);
    z=zeros(d*m,1);
    for i=1:m
        % Berechnung der Argumente von f
        temp_phi=zeros(d,1);
        for j=1:m
            temp_phi=temp_phi+beta(i,j)*k((j-1)*d+1:j*d);
        end
        % Berechnung von F_i
        z((i-1)*d+1:i*d,1)=f(t+alpha(i)*s,v+s*temp_phi)-k((i-1)*d+1:i*d);
    end
end

%% Function DF
function A = DF(Df,alpha,beta,k,t,v,s)
    m=length(alpha);
    d=length(v);
    A=zeros(d*m,d*m);
    for i=1:m
        % Berechnung der Argumente von Df
        temp_phi=zeros(d,1);
        for j=1:m
            temp_phi=temp_phi+beta(i,j)*k((j-1)*d+1:j*d);
        end
        % Berechnung von DF_ij
        for j=1:m
            if i==j
                A((i-1)*d+1:i*d,(j-1)*d+1:j*d)=Df(t+alpha(i)*s,v+s*temp_phi)*s*beta
                (i,j)-eye(d,d);
            else
                A((i-1)*d+1:i*d,(j-1)*d+1:j*d)=Df(t+alpha(i)*s,v+s*temp_phi)*s*beta
                (i,j);
            end
        end
    end
end

%% Newton-Verfahren:
function [nst,n]=newton(F,DF,x0,eps,newton_einfach)
%NEKTON1D Eindimensionales Newton-Verfahren zur Berechnung von Nullstellen
% einer Funktion F
% F : Funktion
% dF : Ableitung der Funktion
% x0 : Startwert
% eps : Genauigkeit
% newton_einfach : 0 = Newton-Verfahren
% : 1 = vereinfachtes Newton-Verfahren
% nst : Nullstelle der Funktion
% n : Anzahl der benoetigten Iterationen

n = 0;
xn = x0;
yn = F(xn);

```

```
if newton_einfach
    A0=DF(x0);
    while max(abs(yn))>eps
        n = n+1;
        %xn = xn - GSV(A0, yn, 10^(-10));
        %xn = xn - LR(A0, yn, 1);
        xn = xn - A0\yn;
        yn = F(xn);
    end
else
    while max(abs(yn))>eps
        n = n+1;
        %xn = xn - GSV(dF(xn), yn, 10^(-10));
        %xn = xn - LR(dF(xn), yn, 1);
        xn = xn - DF(xn)\yn;
        yn = F(xn);
    end
end
nst=xn;
end
```

```
function [tn,un] = rk_explicit(f,u_init,t_init,t_end,h,alpha,beta,gamma)
%RK_EXPLICIT loest Anfangswertprobleme der Form
%      u'(t) = f(t,u(t)), u(t_init) = u_init
%      mit expliziten Runge-Kutta-Verfahren (alpha,beta,gamma)
%      zur konstanten Zeitschrittweite h auf dem endlichen
%      Zeitintervall [t_init,t_end].

%% Initialisierung
m=length(gamma);           % Stufe des RK-Verfahrens
tn=t_init:h:t_end;        % diskretes Zeitintervall
time_steps=length(tn);    % Anzahl der Zeitschritte
space_dim=length(u_init); % Dimension der DGL, Raumdimension
un=zeros(space_dim,time_steps); % Speicherreservierung fuer RK-Iteration
un(:,1)=u_init;           % Initialisierung der Anfangsdaten
k=zeros(space_dim,m);     % Speicherreservierung der k_i's

%% Explizites Runge-Kutta-Verfahren
for j=2:time_steps
    % 1. Rekursive Berechnung der k_i's
    for i=1:m
        temp_k=zeros(space_dim,1);
        for l=1:i-1
            temp_k=temp_k+beta(i,l)*k(:,l);
        end
        k(:,i)=f(tn(j-1)+alpha(i)*h,un(:,j-1)+h*temp_k);
    end

    % 2. Berechnung der u^j's
    temp_phi=zeros(space_dim,1);
    for i=1:m
        temp_phi=temp_phi+gamma(i)*k(:,i);
    end
    un(:,j)=un(:,j-1)+h*temp_phi;
end
end
```


Figure 1

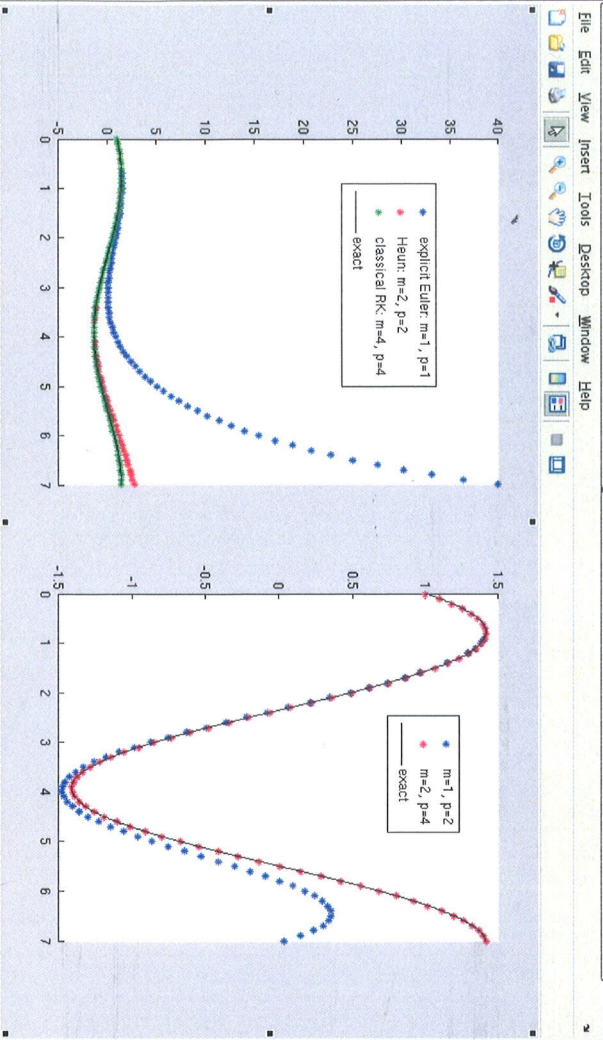
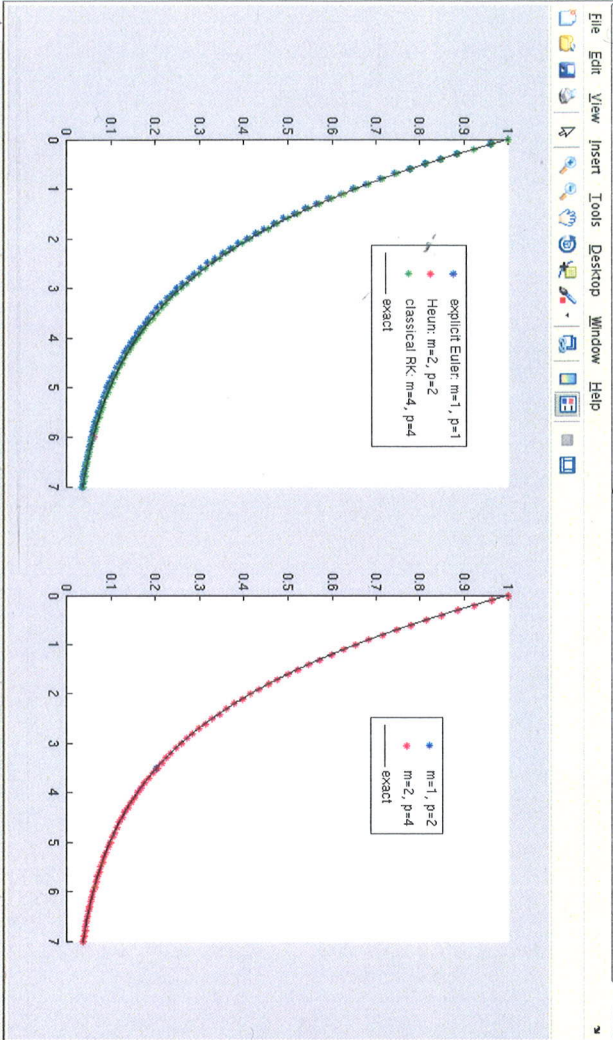


Figure 2



Workspace

Name	Value	Min	Max
Dvf	@(x)/10^1-6.2...	0.2113	0.78...
alpha	[0.2113,0.7887]	-0.0387	0.55...
beta	[0.2500 -0.0387]		
f	@(x)/10^1-6.2...	0.5000	0.50...
gamma	[0.5000 0.5000]	0.1000	0.10...
h	0.1000		
i	2		
space.d...	2		
C_end	7		
c_end	<1x7001 double>		
c_fine	0		
t_limit	0		
u_euler	<1x71 double>		
u_heun	<1x71 double>		
u_m1p2	<1x71 double>		
u_m2p4	<1x71 double>		
u_rkcla...	<1x71 double>		
u_bar	@(t)/5^t-exp(-t)...		
u_exact...	<2x7001 double>	0.0185	1
u_init	[1;1]		
u_euler	<2x71 double>	0.0168	1
u_heun	<2x71 double>	0.0185	1
u_m1p2	<2x71 double>	0.0185	1
u_m2p4	<2x71 double>	0.0185	1
u_rkcla...	<2x71 double>	0.0185	1

Figure 3

